

ZrO₂-SiO₂ 복합산화물에 담지된 백금 촉매의 요오드화수소 분해 특성 연구

고윤기¹ · 박은정^{1,2} · 배기광^{1†} · 박주식¹ · 강경수¹ · 조원철¹ · 정성욱¹ · 김창희¹ · 김영호²
¹한국에너지기술연구원, ²충남대학교

A Study on Characteristics of HI Decomposition Using Pt Catalysts on ZrO₂-SiO₂ Mixed Oxide

YUNKI KO¹, EUNJUNG PARK^{1,2}, KIKWANG BAE^{1†}, CHUSIK PARK¹, KYOUNGSOO KANG¹,
WONCHUL CHO¹, SEONGUK JEONG¹, CHANGHEE KIM¹, YOUNG HO KIM²

¹Hydrogen and Fuel Cell Department, Korea Institute of Energy Research,
71-2 Jang-dong Yuseong-gu Daejeon 305-343, Korea

²Department of Industrial Chemistry, Chungnam National University,
220 Gung-dong Yuseong-gu Daejeon 305-764, Korea

Abstract >> This work is investigated for the catalytic decomposition of hydrogen iodide (HI). Platinum was used as active material by loading on ZrO₂-SiO₂ mixed oxide in HI decomposition reaction. To obtain high and stable conversion of hydrogen iodide in severe condition, it was required to improve catalytic activity. For this reason, a method increasing dispersion of platinum was proposed in this study. In order to get high dispersion of platinum, zirconia was incorporated in silica by sol-gel synthesis. Incorporating zirconia influence increasing platinum dispersion and BET surface area as well as decreasing deactivation of catalysts. It should be able to stably product hydrogen for a long time because of inhibitive deactivation. HI decomposition reaction was carried out under the condition of 450°C and 1 atm in a fixed bed reactor. Catalysts analysis methods such as N₂ adsorption/desorption analysis, X-ray diffraction, X-ray fluorescence, ICP-AES and CO gas chemisorption were used to measurement of their physico-chemical properties.

Key words : Hydrogen iodide decomposition(요오드화수소 분해), Pt catalyst(백금 촉매), Metal dispersion(금속 분산도), Metal-support interaction(금속-지지체 간 상호작용)

Superscripts

I : ICP-AES analysis

X : XRF analysis

c : commercial silica support

sg : synthesized support by sol-gel method

1. 서 론

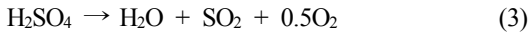
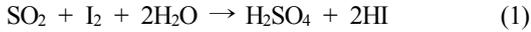
물은 수소를 생산할 수 있는 대표적 청정에너지 자원이다. 다양한 방법을 통해 물로부터 수소를 생산할 수 있으며 순환사용이 가능하다. 수소 생산에 있

[†]Corresponding author : kkbac@kier.re.kr

[접수일 : 2013.8.9 수정일 : 2013.10.16 게재확정일 : 2013.10.31]

Copyright © 2013 KHNES

어 물의 단순 열분해는 4273 K 이상의 반응 온도가 필요하고 내열용기의 확보가 어려운 문제점이 제기되어 열화학 사이클 반응을 통한 간접적인 생산이 요구된다. 물 분해를 위한 대표적 열화학 사이클 반응은 황-요오드 공정(S-I process)이 있으며, 다음의 3 단계 반응으로 구성된다^{1,2)}.



식 (1)은 분젠(Bunsen) 반응단계로써 물이 이산화황 및 요오드와 반응하여 황산(H₂SO₄, sulfuric acid)과 요오드화수소산(HI, hydriodic acid)을 생성한다. 생성된 황산과 요오드화수소산은 밀도 차에 의한 분리가 가능하며, 분리된 황산 용액과 요오드화수소산 용액은 각각의 분해반응 단계로 전달된다. 식 (3)의 황산 분해단계에서 물, 이산화황, 산소를 생성하며, 식 (2)의 요오드화수소 분해단계에서 수소와 요오드를 생성하게 된다. 각 단계에서 분해된 최종 생성물 중 산소와 수소를 제외한 분해 생성물들은 분젠 반응으로 재순환되어 폐사이클 반응을 이룬다. 결과적으로 황-요오드 공정은 물을 공급하여 수소와 산소를 분리하는 공정이 된다.

수소의 직접적인 생산이 이루어지는 요오드화수소산 분해반응 단계는 전체 공정의 열효율을 고려한다면 약 427~527 °C의 조건에서 운전되어야 하지만, 단순 열분해만으로는 반응속도가 느리기 때문에 촉매의 이용이 불가피하다³⁾. 요오드화수소의 분해반응은 요오드화수소산의 강한 산성과 고온반응 조건 때문에 촉매의 내부식성과 열적안정성이 요구된다. 기존 연구에 의하면, 활성금속으로 백금, 니켈, 이리듐, 팔라듐 등의 전이금속이 알루미늄(Al₂O₃), 실리카(SiO₂), SBA-15, 세리아(CeO₂), 활성탄소 등의 지지

체에 담지되어 HI 분해반응이 수행되었다^{3,9)}.

본 연구팀은 이전 연구에서 실리카, 알루미늄, 지르코니아(ZrO₂), 세리아 지지체에 따른 백금 촉매의 활성 실험을 통하여 Pt/Al₂O₃ 촉매가 우수한 성질 및 활성을 갖는다고 보고하였다¹⁰⁾. 이는 백금과 알루미늄의 강한 상호작용에 의한 것으로 나타났다¹¹⁾. 비교적 높은 비표면적을 갖는 실리카에서 높은 백금 분산도를 예상 하였으나, 백금과 실리카의 낮은 상호작용으로 낮은 분산도가 나타났고, 고온 반응에 의한 비활성화를 보였다^{12,13)}. 실리카는 산화물 중 화학적, 열적으로 안정한 물질이기 때문에 지지체로서 적합한 성질을 가지고 있을 뿐만 아니라, 제조방법 및 조건에 따라 비표면적을 증가시키기 용이하다. 만약, 실리카 지지체와 백금 간의 상호작용 및 비표면적을 증가시켜 백금의 분산도를 증가시킬 수 있다면 우수한 촉매 성능을 보일 것으로 예상할 수 있다.

Kim 등^{14,16)}은 Pt/SiO₂에 산화물을 첨가하여 백금의 높은 분산도를 얻을 수 있으며, 금속-지지체 간의 상호작용을 강화시킬 수 있다고 보고하였다. Kim 등은 타이타니아(TiO₂), 바나디아(V₂O₅), 지르코니아, 세리아를 실리카에 첨가하였고, 이들 중에 지르코니아를 고정된 실리카 지지체에서 백금의 높은 분산도를 보였다고 보고하였다. 이는 Pt-O-Zr 결합의 형성으로 인한 백금의 분산도와 안정성이 증진되기 때문이라고 보고하고 있다¹⁵⁾. 실리카 지지체의 비표면적 및 세공의 물성 변화를 위해, Lee 등¹⁷⁾은 sol-gel 방법에 의한 실리카 제조과정에서 담지금속을 첨가하는 방법을 제시하였다. Lee 등은 sol-gel 과정 중에 백금 전구체를 첨가하여 백금 입자를 고르게 분산시킬 수 있으며, 백금 전구체의 농도를 조절함으로써 비표면적 및 세공 물성의 변화를 확인하였다.

본 실험에서는 실리카 지지체를 기반으로 다양한 방법으로 백금 촉매를 제조하여 각 촉매의 물성 분석 및 요오드화수소산 분해반응 활성에 대한 평가를 수행하였다. 실리카의 sol-gel 합성법을 이용하여 지

르코니아가 첨가된 ZrO_2-SiO_2 지지체를 제조하였으며, 지르코니아 전구체의 첨가 농도에 따른 BET 비표면적의 변화를 확인하였고, 제조된 ZrO_2-SiO_2 지지체에 담지된 백금의 분산도 및 활성변화를 관찰하였다.

2. 실험

2.1. 촉매 제조

백금 촉매에 사용된 지지체는 네 종류가 있으며, 각 지지체에 따른 백금 촉매 제조방법도 네 가지이다. 모든 촉매는 함침법을 이용하여 0.5wt% 백금을 담지되었고, 각 지지체에 담지 되는 백금 전구체는 tetraamine platinum(II) nitrate (Sigma-Aldrich, 99.995%)이다. 제조된 백금 촉매의 제조 방법 및 함량은 Table 1에 나타났다.

네 종류의 지지체 중, 상용 실리카(Alfa-Aesar, 99%)를 이용하여 Pt/SiO_2^c (이하 PS^c) 촉매를 제조하는 방법은 다음과 같다. 펠릿 형태의 상용지지체를 분쇄하여 약 300~425 μm 크기의 입자로 선별하였다. 선별된 실리카 지지체에 백금을 함침한 후에, 50vol.% H_2/Ar 기체로 400 $^\circ C$ 에서 2시간 환원하였다(이하 방법 1).

Pt/SiO_2^{sg} (이하 PS^{sg}) 촉매의 실리카 지지체는 sol-gel 합성법을 이용하여 제조되었으며, 실리카의 전구체로 TEOS(tetraethyl orthosilicate, 99.9%, Sigma-Aldrich)를 이용하였다. 이 때 반응물의 몰비는 TEOS : ethanol : H_2O : NH_3 = 1 : 40.7 : 53.6 : 0.09이다. 반응물을 50 $^\circ C$ 에서 3시간 교반 후 1M 질산 용액으로 pH를 6.25로 조절하여 colloidal sol을 형성시켰다. Colloidal sol은 100 $^\circ C$ 오븐에서 24시간 건조 후, 700 $^\circ C$ 에서 6시간 동안 소성시켰다. 이 후 과정은 방법 1과 비슷하게 분쇄, 선별, 함침, 환원의 과정을 거쳐 제조되었다(이하 방법 2).

Pt/ZrO_2-SiO_2 촉매의 지지체는 두 가지 방법에 의해 제조된다. 첫 번째 방법은 Kim 등¹⁵⁾이 제조한 방

Table 1 The list of Pt catalysts prepared by various methods

Catalysts	Preparation method	Platinum contents (wt%)	Zirconia contents (wt%) ^X
PS^c	Method 1	0.39	none
PS^{sg}	Method 2	0.45	
$PZ(20)S^c$	Method 3	0.42	19.6
$PZ(10)S^{sg}$	Method 4	0.51	9.5
$PZ(20)S^{sg}$		0.31	19.7
$PZ(30)S^{sg}$		0.45	37.9
$PZ(40)S^{sg}$		0.46	49.6

c : commercial support

sg: sol-gel synthesized support

I : ICP-AES analysis

X : XRF analysis

법과 유사하다. Zr/Si 의 비를 0.2로 하여 zirconium propoxide (Sigma-Aldrich, 99.9%)를 에탄올(OCI, 99.9%)에 용해시킨 후, 분쇄된 상용 실리카를 zirconium propoxide 용액에 투입하여 80 $^\circ C$ 에서 4 시간동안 반응시켰다. 세척과 건조, 소성 처리 후 백금을 담지시켜 $Pt/ZrO_2(20wt\%)-SiO_2^c$ (이하 $PZ(20)S^c$) 촉매를 제조하였다(이하 방법 3).

두 번째 방법은 방법 2의 실리카 합성방법을 기초로, pH 조절 이전에 zirconium propoxide를 투입하여 $Pt/ZrO_2(10-40wt\%)-SiO_2$ (이하 $PZ(10-40)S^{sg}$) 촉매를 제조하는 방법이다. Zirconium propoxide는 Zr/Si 비를 0.1~0.4의 비율로 첨가하였고, 이 후의 제조 과정은 방법 2와 같이 건조, 소성, 분쇄, 선별, 함침, 환원의 과정을 거쳐 $PZ(10-40)S^{sg}$ 촉매를 제조하였다(이하 방법 4).

2.2. 촉매 특성 분석

제조된 촉매의 비표면적을 측정하기 위해 질소 흡탈착 분석(BELSORP-mini, BEL)을 실행하였으며, 백금의 분산도는 일산화탄소 기체 화학흡착(BELCAT-B, BEL) 방법을 통하여 측정되었다. 담지된 백금의 결정상 및 결정 크기를 비교하기 위해 X선 회절분석

(X-ray diffraction, DMAX-2500, Rigaku)을 실행하였다. 각 촉매에 담지된 백금 함량은 유도결합플라즈마-원자방출분광기(ICP-AES, Perkin-Elmer)를 이용하여 측정하였고, 지르코니아의 함량은 X선 형광분석기(X-ray fluorescence, ZSX Primus II, Rigaku)를 이용하여 측정되었다.

2.3. 요오드화수소 분해 실험

HI 분해반응을 위한 장치는 Fig. 1에 나타내었다. HI 분해반응을 위해 길이는 200mm, 내경은 0.9mm 인 고정층 반응기를 사용하였으며, 반응기는 고온 반응과 요오드화수소에 대한 내부식성을 고려하여 석영관을 사용하였다. 요오드화수소 산 용액과 아르곤 기체의 유속은 각각 0.2ml/min, 50ml/min 이다. 요오드화수소 산 용액과 아르곤 기체는 각각 정량 이송 펌프(Masterflex L/S digital drive, Cole-Parmer)와 MFC(mass flow controller, 1179A, MKS)를 이용하여 반응장치의 하단부로 공급된다. 촉매층은 석영관에 고정된 유리 필터 위에 석영층-촉매-석영층-SiC honeycomb 순으로 쌓았으며, 사용된 촉매의 양은 0.4g이다. HI 분해반응 온도는 450°C이며, 촉매층을 제외한 나머지 부분은 silicone oil을 순환시켜 160°C로 유지하였다. 반응기 하단 부분은 공비조성의 요오드화수소 산

용액을 기화시키기 위한 부분이고, 상단부분은 반응 기체들을 응축시키는 부분이다. 응축기를 지난 반응 기체는 요오드화칼륨 수용액과 실리카겔을 지나 수소와 아르곤 혼합기체로 분리된다. 분리된 수소와 아르곤은 GC-TCD (gas chromatography-thermal conductivity detector, 7890A, Agilent technologies)로 분석되며, 이를 이용하여 전환율을 계산하였다.

3. 결과 및 고찰

3.1. 촉매 특성 분석

질소 흡-탈착 분석법에 의해 나타난 결과, 상용 실리카를 사용한 촉매의 BET 비표면적은 약 234, 239 m²/g이며, sol-gel 합성법으로 제조된 촉매는 437~576 m²/g로 비표면적이 2배 이상 큰 것으로 나타났다. PZ(10~40)S^{SG} 촉매는 지르코니아 함량에 따른 BET 비표면적 변화가 있었다.

PS^C, PS^{SG}, PZ(20)S^C, PZ(10~40)S^{SG}의 일산화탄소 기체 화학흡착법과 질소 흡, 탈착 방법을 통해 얻어진 물성을 Table 2에 나타내었다. PS^C와 PZ(20)S^C는 다른 촉매들 보다 낮은 비표면적을 갖지만, PZ(20)S^C는 지르코니아 첨가에 의한 백금 분산도 증가를 확인할 수 있었다. PS^C와 PS^{SG}를 비교하였을 때, sol-gel 합성으로 증가된 비표면적에 기인하여 백금의 분산

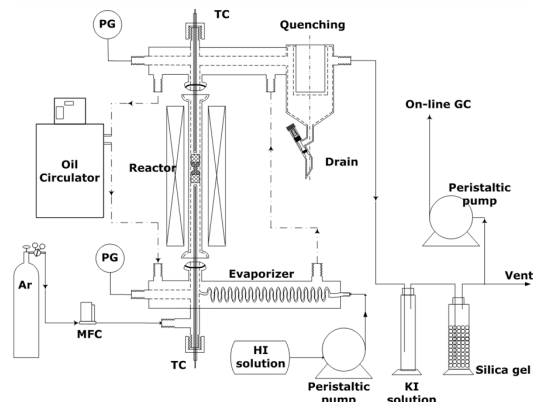


Fig. 1 Schematic diagram for catalytic HI decomposition apparatus

Table 2 CO gas chemisorption analysis of each catalyst

Catalysts	SBET (m ² /g)	D _m (%)	S _m (m ² /g)	P _{avg.} (nm)
PS ^C	234	1.8	4.4	62.8
PS ^{SG}	437	10.6	26.2	10.7
PZ(20)S ^C	239	17.9	44.2	6.3
PZ(10)S ^{SG}	525	13.4	33.1	8.4
PZ(20)S ^{SG}	576	20.5	50.6	5.5
PZ(30)S ^{SG}	541	18.9	46.7	6.0
PZ(40)S ^{SG}	507	15.4	38.0	7.3

D_m : Metal dispersion of platinum

S_m : Specific surface area of platinum

P_{avg.} : Average particle size of platinum

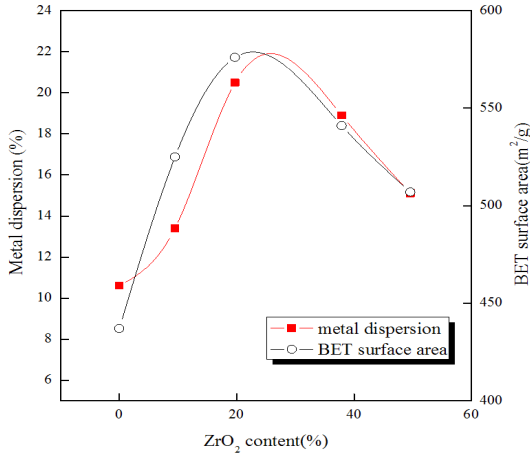


Fig. 2 Variations in metal dispersion(squares) and BET surface area(circles) function of ZrO₂ content of catalysts made by Method 4

도가 증가하였다. 즉, 백금의 분산도는 지르코니아의 첨가와 촉매의 비표면적에 영향을 받는다는 것을 알 수 있다. 또한, 실리카의 sol-gel 합성 중 지르코니아를 첨가함으로써 촉매의 비표면적을 70~139m²/g 가량 증가시킬 수 있었다.

Fig. 2를 보면 방법 4에 의해 제조된 촉매들은 지르코니아 함량에 따른 BET 비표면적 변화와 백금 분산도 변화가 유사함을 알 수 있다. PZ(20)S^{sg} 촉매의 지르코니아가 함량이 19.7wt% 일 때 비표면적과 백금 분산도가 가장 높고, 그 이상의 함량에서 촉매의 비표면적과 백금 분산도는 동일한 비율로 감소한다. 이를 통해 백금 분산도는 촉매의 BET 비표면적에 영향을 받으며 밀접한 관계를 갖는다는 것을 알 수 있다.

Fig. 3에는 각 제조방법을 통해 제조된 백금 촉매의 BET 비표면적에 따른 백금 분산도의 변화를 나타내었다. 상용 실리카 지지체를 쓸 때(방법 1, 3) 보다 sol-gel 방법(방법 2, 4)에 의해 제조된 실리카 지지체에서 BET 비표면적이 약 2배 이상 증가 하였다. 또한 지르코니아를 첨가한 경우(방법 3, 4)가 미첨가한 경우(방법 1, 2)보다 낮은 백금 분산도를 나타냈다. 결과적으로 BET 비표면적을 증가시킬 수 있는

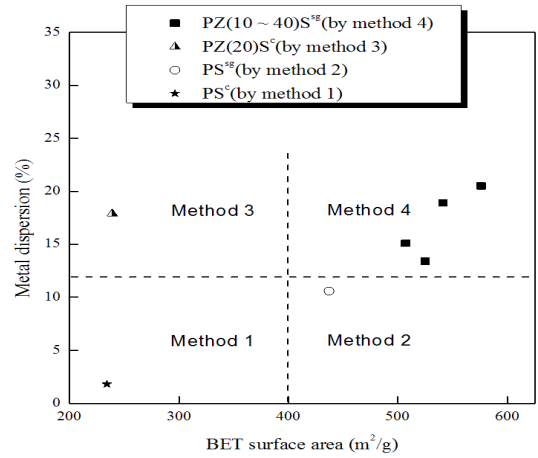


Fig. 3 Metal dispersion of Pt catalysts according to BET surface area ; each symbol presents information of preparation methods

지지체의 sol-gel 합성 방법과, 지르코니아의 첨가와 촉매의 비표면적을 크게 향상시킬 뿐만 아니라 백금 분산도도 증가시킬 수 있어 방법 4에 의해 만들어진 촉매가 반응에 유리한 물성을 갖는다. 또한 방법 4에 의해 제조된 PZ(10~40)S^{sg} 촉매는 지르코니아의 함량에 따라 BET 비표면적과 백금 분산도가 달랐다. PZ(10~40)S^{sg} 촉매는 비표면적의 증가에 기인한 백금 분산도의 증가도 고려될 뿐만 아니라 Kim 등이 설명한 Pt-O-Zr의 결합에 의해 강화된 금속-지지체 상호작용이 있었다고 판단된다.

PZ(10~40)S^{sg} 촉매들의 XRD 결과를 Fig. 4에 나타내었다. PZ(10)S^{sg}, PZ(30)S^{sg}, PZ(40)S^{sg} 촉매에서 백금 피크를 확인할 수 있었지만 PZ(20)S^{sg}에서는 확인할 수 없었다. 이는 백금 결정이 매우 작은 상태이며, 분산도가 상당히 좋다는 것을 알 수 있다. PZ(20)S^{sg} 촉매를 제외한 촉매들은 각각 다른 크기의 피크들이 나타났다. 각 피크의 크기로부터 백금 결정의 크기를 예상할 수 있고, 이런 크기 변화는 Table 2에 나타난 백금 입자 크기 변화와 유사함을 알 수 있다. 따라서 첨가된 지르코니아의 함량에 따라 백금 결정의 크기 변화가 있었고, 백금의 분산도 변화가 나타났다고 판단된다.

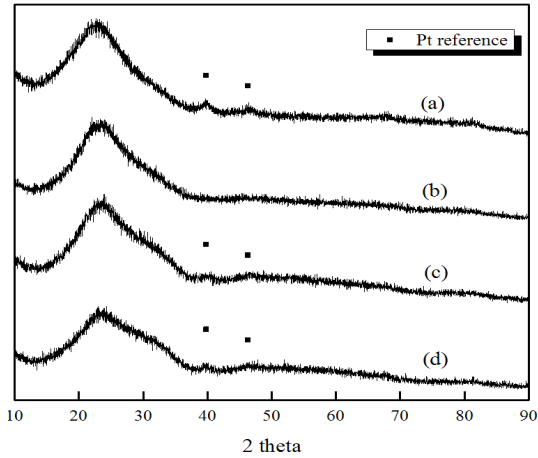


Fig. 4 XRD patterns of Pt catalysts made by Method 4 ; (a) PZ (10)S⁵⁹, (b) PZ (20)S⁵⁹, (c) PZ (30)S⁵⁹, (d) PZ (40)S⁵⁹

3.2. HI 분해반응 특성

PS^c, PS^{sg}, PZ(20)S^{sg}의 HI 전환율을 Fig. 5에 나타내었다. PS^c 촉매의 최대 전환율이 15% 정도이며, 급격한 비활성화 후 약 8%의 전환율을 보이는 것을 알 수 있다. 실리카 지지체는 전이금속계 활성금속과 낮은 상호작용을 이루기 때문에 고온에서의 백금 소결현상과 그에 따른 급격한 활성 저하 현상이 일어난다^{12,13}. 상기의 분석에서 PS^c촉매 보다 큰 BET 비표면적과 백금 분산도를 나타낸 PS^{sg} 촉매의 경우, 최대전환율과 비활성화 후 전환율이 PS^c 촉매 보다 높았다. 그러나 PS^{sg} 촉매 역시 PS^c 촉매와 마찬가지로 급격한 비활성화를 보였다. 이는 단순히 sol-gel 합성법에 의해 증가된 비표면적과 백금 분산도는 HI 분해반응에서 촉매의 비활성화 억제 효과가 없는 것으로 보인다. 실제 공정 조건에서 촉매의 반응성도 중요하지만 촉매의 내구성이 더욱 요구된다. PZ(20)S^{sg} 촉매는 가장 높은 전환율을 보여 줄 뿐만 아니라 450°C에서 열역학적 평형전환율 21%에 가장 가까워 다른 촉매보다 우수한 성능을 보이는 것을 알 수 있다. 또한, PZ(20)S^{sg} 촉매는 비활성화 속도도 가장 느렸고, 비활성화 과정 이후의 전환율도 17%로 가장 높았다.

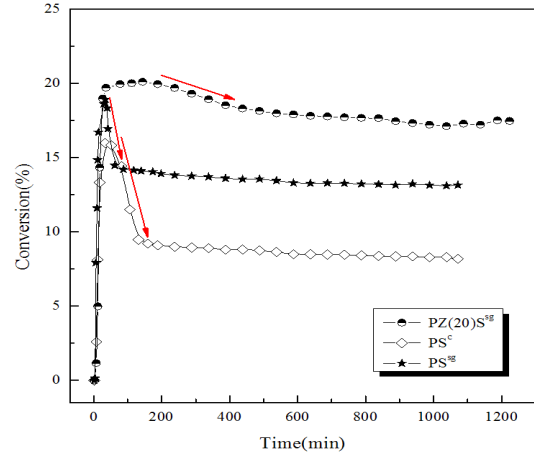


Fig. 5 Conversion of HI vapor using each catalysts ; comparison of common Pt/silica catalysts and its added ZrO₂ by Method 4

4. 결 론

수소제조를 위한 황-요오드 열화학 사이클 공정에서 HI 분해반응 단계의 촉매 반응에 대한 연구를 진행하였다. 본 연구에서 백금계 담지 촉매의 반응성 향상 및 비활성화 방지를 위한 촉매의 합성법을 제시하였다. 합성법은 실리카의 sol-gel 합성 과정 중 겔화 단계에 지르코니아 전구체를 첨가하여 ZrO₂-SiO₂ 지지체를 제조 후 함침법을 이용해 백금을 담지하는 방법(방법 4)이다. 촉매의 물성 및 HI 분해 반응 결과는 다음과 같다.

- 1) Pt/SiO₂ 촉매를 여러 가지 방법을 통해 제조하였다. 각 제조 방법에 따라 촉매의 물성변화를 관찰하였으며, 방법 4에 의해 제조된 Pt/ZrO₂-SiO₂⁵⁹ 촉매가 BET 비표면적 및 백금 분산도가 우수하였다.
- 2) 실리카의 sol-gel 반응 중 지르코니아 전구체를 첨가한 백금 촉매는 지르코니아의 함량에 따른 BET 비표면적의 변화를 확인하였으며, 지르코니아의 첨가량이 20wt%일 때 가장 큰 BET 비표면적과 백금 분산도를 갖는다.

- 3) 실리카의 so-gel 방법과 지르코니아의 첨가는 촉매의 비표면적의 향상뿐만 아니라, 백금의 분산도 역시 증가 시키는 것을 알 수 있었다.
- 4) HI 분해반응 결과 PS^c 촉매와 PS^{se} 촉매가 큰 비활성화를 보였으며, $PZ(20)S^{se}$ 촉매에서 높은 반응성과 비활성화 감소 효과가 나타났다. 또한 비활성화 후에도 약 17%에 이르는 높은 전환율을 나타냈다.

결과적으로 실리카는 sol-gel 합성을 통해 비표면적을 넓혀 백금 분산도와 반응성을 증가될 수 있지만, 백금과 실리카의 상호작용이 약하기 때문에 비활성화가 빠르게 일어난다. 그러므로 비활성화를 억제하기 위해 금속-지지체간의 상호작용을 강화시킬 필요가 있었다. 이를 위해 본 연구에서는 실리카의 sol-gel 합성 중 지르코니아를 첨가하여 금속-지지체간의 상호작용을 강화하였고, HI 분해반응에 대한 비활성화 현상을 줄일 수 있었다.

후 기

본 연구는 한국에너지기술연구원의 주요사업으로 수행한 결과이며(B3-2413-03), 원자력수소 핵심기술 개발 사업의 일환으로 추진된 것입니다(B3-6301).

References

1. D. O'Keefe, C. Allen, G. Besenbruch, L. Brown, J. Norman, and R. sharp, "Preliminary results from bench-scale testing of a sulfur-iodine thermochemical water-splitting cycle", *Int. J. Hydrogen Energy*, 7, 1982, p. 381.
2. J. L. Russell, K. H. McCorkle, J. H. Norman, J. T. Porter, T. S. Roemer, J. R. Schuster, R. S. Sharp, "Water splitting-A progress report", *World Hydrogen Energy Conference*, Vol. 1, 1976, pp. 1A105-1A124.
3. Y. Shindo, N. Ito, K. Haraya, T. Hakuta and H. Yoshitome, "Kinetics of the catalytic decomposition of hydrogen iodide in the thermochemical hydrogen production", *Int. J. Hydrogen Energy*, Vol. 9, No. 8, 1984, pp. 695-700.
4. C. N. Hinshelwood and R. E. Burk, "The relation of homogeneous to catalysed reactions. The catalytic decomposition of hydrogen iodide on the surface of platinum", *J. Chem. Soc.*, Vol. 127, 1925, pp. 2896-2900.
5. I. Iida, "The kinetic behaviour of the decomposition of hydrogen iodide on the surface of platinum", *Z. phys. Chem. N. F.*, Vol. 109, 1978, pp. 221-242.
6. Y. Oosawa, T. Kumagai, S. Mizuta, W. Kondo, Y. Takemori and K. Fujii, "Kinetics of the catalytic decomposition of hydrogen iodide in the magnesium-iodine thermochemical cycle", *Bull. Chem. Soc. J.*, Vol. 54, 1981, pp. 742-748.
7. P. Favuzza, C. Felici, M. Lanchi, R. Liberatore, C.V. Mazzocchia, A. Spadoni, P. Tarquini, A.C. Tito, "Decomposition of hydrogen iodide in the S-I thermochemical cycle over Ni catalyst systems", *INT. J. Hydrogen Energy*. Vol. 34, 2009, pp. 4049-4056.
8. Yanwei Zhang, Zhihua Wang, Junhu Zhou, Jianzhong Liu, Kefa Cen, "Effect of preparation method on platinum-ceria catalysts for hydrogen iodide decomposition in sulfur-iodine cycle", *INT. J. Hydrogen Energy*. Vol. 33, 2008, pp. 602-607.
9. J. M. Kim. "Characteristics of HI decomposition using Pt supported catalysts and catalytic membrane reactor in sulfur-iodine process", *Chung-Nam University*, Daejeon, Korea, 2008.
10. Y. K. Ko, C. S. Park, K.S. Kang, K. K. Bea, and Y. h. Kim, "Effect of Support in HI Decomposition Reaction using Pt Catalyst", *Trans. of the Korea Hydrogen and New Energy Society*, Vol 22, No. 4, 2011, pp. 415-423.
11. M. Vaarkamp, J. T. Millerb, F. S. Modica, D. C. Koningsbergc, "On the Relation between

- Particle Morphology, Structure of the Metal-Support Interface, and Catalytic Properties of Pt/ γ -Al₂O₃”, *Journal of Catalysis*, Vol. 163, No. 2, 1996, pp. 294-305.
12. M.K. Oudenhuijzen, P.J. Kooyman, B. Tappel, J.A. Bokhoven, D.C. Koningsberger, “Understanding the Influence of the pretreatment Procedure on Platinum Particle Size and Particle-Size Distribution for SiO₂ Impregnated with [Pt²⁺(NH₃)₄](NO₃)₂: A Combination of HRTEM, Mass Spectrometry, and Quick EXAFS”, *J. Catal.*, Vol. 205, 2002, pp. 135-146.
 13. A. Goguet, D. Schweich, J.P. Candy, “preparation of a Pt/SiO₂ Catalyst II. Temperature-Programmed Decomposition of the Adsorbed Platinum Tetrammine Hydroxide Complex under Flowing Hydrogen, Oxygen and Argon”, *J. Catal.*, Vol. 220, 2003, pp. 280-290.
 14. M.Y. Kim, Y.S. You, H.S. Han, G. Seo, “Preparation of Highly dispersive Platinum Catalysts Impregnated on Titania-Incorporated Silica Support”, *Catal. Lett.*, Vol. 120, 2008, pp. 40-47.
 15. M.Y. Kim, S.M. Park, G. Seo, K.S. Song, “Highly Stable Platinum Catalysts in Propane Combustion Prepared by Supporting Platinum on Zirconia-Incorporated Silica”, *Catal. Lett.*, Vol. 138, 2010, pp. 205-214
 16. M.Y. Kim, G. Seo, J.H. Park, C.H. Shin. and E.S. Kim “Dispersion and Stability of Platinum Catalysts Supported on Titania-, Vanadia-, Zirconia- and Ceria-Incorporated Silicas”, *Korean Chem. Eng. Res.*, Vol. 49, No. 1, 2011, pp. 1-9
 17. D.W. Lee, S.J. Park, S.K. Ihm, K.H. Lee, “Synthesis of Pt-containing mesoporous silica using Pt precursor as a pore-forming agent”, *Journal of Non-Crystalline Solids*, Vol. 353, 2007, pp. 1501-1507.